
Л.П.Досколович, Н.Л.Казанский, С.И.Харитонов

МЕТОД ОЦЕНКИ ЭНЕРГЕТИЧЕСКОЙ ЭФФЕКТИВНОСТИ ДОЭ

Введение

Дифракционные оптические элементы (ДОЭ), предназначенные для фокусировки лазерного излучения и известные как фокусаторы [1-3], позволяют сформировать в фокальной области требуемое распределение интенсивности. При этом качество фокусировки зависит от методов изготовления дифракционного микрорельефа ДОЭ. Для оценки качества фокусировки на этапе проектирования фокусаторов используется математическая модель, представляющая ДОЭ как набор модулей кольцевой, линейной или прямоугольной формы [4-6].

Такая модель предполагает кусочно-постоянную аппроксимацию микрорельефа ДОЭ, что характерно, например, для литографических технологий [7-9].

Однако существуют и развиваются альтернативные технологии изготовления ДОЭ, обеспечивающие более сложную (например, кусочно-линейную) аппроксимацию профиля дифракционного микрорельефа ДОЭ [10-15].

В настоящей работе предложен метод оценки энергетической эффективности ДОЭ на стадии проектирования. Метод может быть использован для оценки влияния различных технологических ошибок изготовления на работу дифракционных оптических элементов.

1. Постановка задачи

Пусть $\varphi(u,v)$ есть фазовая функция ДОЭ, фокусирующего лазерный пучок света с комплексной амплитудой $W(u,v)$ в область Q фокальной плоскости (Рис.1). Важнейшим критерием оценки работы ДОЭ является энергетическая эффективность [4-6, 16]

$$E = \frac{\iint_Q I(x,y) dx dy}{\iint_F |W(u,v)|^2 du dv} \quad (1)$$

где $I(x,y)$ - распределение интенсивности в фокальной плоскости, а F - апертура ДОЭ. Значение E характеризует долю энергии освещивающего пучка, фокусируемую в требуемую фокальную область Q .

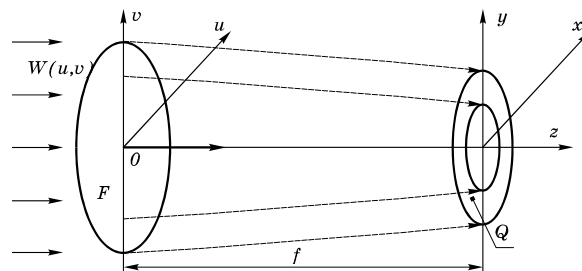


Рис. 1. Геометрия фокусировки

Предположим, что технологические погрешности изготовления ДОЭ могут быть описаны в виде нелинейного преобразования $G[\varphi]$ фазовой функции ДОЭ $\varphi(u,v)$. Например, погрешность фотолитографии

физической технологии описывается квантованием фазовой функции $\varphi(u,v)$, приведенной к интервалу $[0, 2\pi]$. В этом случае функция нелинейного предыскажения фазы $G[\varphi]$ будет иметь вид

$$G[\varphi] = \text{int}\left[\frac{\varphi}{\Delta}\right]\Delta, \quad \Delta = 2\pi / M$$

где $\text{int}[x]$ - целая часть от x , а M - число уровней квантования фазы.

Целью настоящей статьи является получение оценок изменения энергетической эффективности ДОЭ для некоторых функций искажений $G[\varphi]$, описывающих технологические погрешности изготовления дифракционного микрорельефа.

2. Оценка энергетической эффективности ДОЭ

С учетом технологических ошибок изготовления функция комплексного пропускания ДОЭ имеет вид

$$T(u,v) = \exp(iG[\varphi(u,v)]) \quad (2)$$

Чтобы описать работу оптического элемента (2), разложим функцию $T(u,v)$ в ряд Фурье [17-18] по переменной φ

$$T(u,v) = \sum_{n=-\infty}^{n=+\infty} c_n \exp\left(i \frac{n}{N} \varphi(u,v)\right) \quad (3)$$

где N - количество зон микрорельефа ДОЭ,

$$\begin{aligned} c_n &= \frac{1}{2\pi N} \int_0^{2\pi N} \exp\left(iG[\xi] - i \frac{n}{N} \xi\right) d\xi \\ \sum_{n=-\infty}^{n=+\infty} |c_n|^2 &= 1 \end{aligned} \quad (4)$$

В соответствии с (3) комплексная амплитуда поля в фокальной плоскости элемента (2) описывается выражением

$$W(x,y) = \sum_{n=-\infty}^{n=+\infty} c_n W_n(x,y) \quad (5)$$

В приближении Френеля-Кирхгофа [19-20] $W_n(x,y)$ имеет вид

$$\begin{aligned} W_n(\mathbf{x}) &= \frac{1}{i\lambda f} \int_F \int E_0(\mathbf{u}) \times \\ &\times \exp\left(i \frac{n}{N} \varphi(\mathbf{u}) - i \frac{k}{2f} (\mathbf{x} - \mathbf{u})^2\right) d^2 \mathbf{u} \end{aligned} \quad (6)$$

где $\mathbf{x}=(x,y)$, $\mathbf{u}=(u,v)$, $k=2\pi/\lambda$, λ - длина волны, а f - расстояние до фокальной плоскости.

В соответствии с (5) и (6) элемент (2) формирует дифракционные порядки $W_n(x,y)$, $n = -\infty, \infty$. Требуемая фокусировка описывается членом $W_N(x,y)$. Численный анализ интеграла (6) для $n \neq N$ показывает его малость по сравнению с интегралом $W_N(x,y)$ для случая фокусировки в линию. В частности, как следует из общего представления фазовой функции фокусатора в линию [2, 6, 21] члены $W_n(x,y)$, $n \neq N$, соответствуют расфокусированным

линиям. Дифракционная ширина таких линий на порядок больше дифракционной ширины линии, описываемой членом ряда $W_N(x,y)$. Поэтому при фокусировке в линию с хорошей точностью можно использовать следующее соотношение

$$W(x,y) \approx c_N W_N(x,y) \quad (7)$$

Согласно (1) и (7) получаем оценку энергетической эффективности ДОЭ (2) в форме

$$\hat{E} = |c_N|^2 E \quad (8)$$

где E - дифракционная эффективность ДОЭ с фазовой функцией $\varphi(u,v)$. Следует заметить, что (8) является оценкой снизу энергетической эффективности оптического элемента (2), так как паразитные порядки, соответствующие $n \neq N$, в некоторых случаях могут накладываться на полезное изображение, увеличивая энергетическую эффективность.

Как следует из (8), изменение энергетической эффективности ДОЭ, обусловленное нелинейным искажением $G[\varphi]$ его фазовой функции, пропорционально квадрату модуля коэффициента Фурье c_N в разложении фазовой функции $\exp(iG[\varphi])$. Конкретная форма функции $G[\varphi]$ зависит от типа технологических погрешностей и конкретной технологии изготовления ДОЭ.

3. Расчет функции нелинейного искажения

В качестве примера рассмотрим расчет $G[\varphi]$ для ДОЭ с аксиальной симметрией, изготавливаемых на прецизионных станках [10-12,15]. Особенностью такого метода изготовления является кусочно-линейная аппроксимация зон дифракционного микрорельефа ДОЭ, генерируемого радиальной фазовой функцией $\varphi(r) \in [0, 2\pi N]$, $r = (u^2 + v^2)^{1/2}$, $r \in [0, R]$. Разобъем интервал $[0, R]$ на набор непересекающихся отрезков $[U_m, U_{m+1}]$, каждый из которых подчиняется следующему условию

$$\varphi(U_{m+1}) - \varphi(U_m) = 2\pi l, \quad l = \text{const}, \quad l \leq N \quad (9)$$

Величину l можно интерпретировать как интервал приведения фазы (см.Рис.2). Предположим, что на каждом интервале $[U_m, U_{m+1}]$ функция $G[\varphi(r)]$ является линейной и принимает на концах интервала значения 0 и $2\pi l$ соответственно (Рис.2). В этом случае функция нелинейного преобразования (искажения) имеет вид

$$G[\xi] = \frac{\xi - f_1(\xi)}{f_2(\xi) - f_1(\xi)} 2\pi l, \quad \xi \in [0, 2\pi N] \quad (10)$$

где

$$f_1(\xi) = \varphi^{-1}\left(2\pi l \text{int}\left[\frac{\xi}{2\pi l}\right]\right),$$

$$f_2(\xi) = \varphi^{-1}\left(2\pi l \left(\text{int}\left[\frac{\xi}{2\pi l}\right] + 1\right)\right)$$

а φ^{-1} - функция, обратная к $\varphi(r)$.

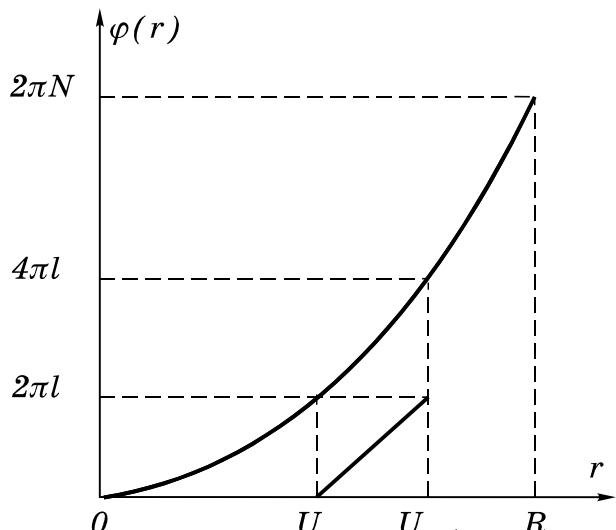


Рис. 2. Кусочно-линейная аппроксимация фазовой функции ДОЭ.

Чтобы оценить изменение энергетической эффективности на основе функции $G[\zeta]$, определенной в (10), были рассчитаны коэффициенты $|c_N|^2$ для дифракционной линзы, задаваемой формулой

$$\varphi(r) = \frac{\pi}{\lambda f}(R^2 - r^2); \quad R = (2\lambda f N)^{1/2}$$

со следующими параметрами: $\lambda=0.001$ мм; $f=100$ мм; $N=4-100$.

Графики фазовой функции линзы до и после нелинейного преобразования $G[\varphi]$ показаны на Рис. 3(а,б).

В Таблице 1 приведены рассчитанные значения квадратов модулей коэффициентов Фурье c_N для различных значений параметров N и l .

Значения $|c_N|^2$, описывающие изменения энергетической эффективности для кусочно-линейной аппроксимации профиля микрорельефа дифракционной линзы

l	N						
	4	8	16	20	40	50	100
1	0.8073	0.8837	0.9354	0.9471	0.9724	0.9772	0.9881
2	0.2573	0.4851	0.6967	0.7486	0.8646	0.8900	0.9440
5	-	0.3217	0.5562	0.6220	0.7635	0.7987	0.8831
10	-	-	0.1841	0.2225	0.3669	0.4198	0.5910
20	-	-	-	0.0221	0.0377	0.0690	0.1148

Благодарность

Работа выполнена в рамках Государственной научно-технической программы "Наукоемкие технологии" при поддержке Министерства науки и технической политики РФ. Авторы выражают благодарность А.Е.Царегородцеву, Я.Е.Тахтарову и С.В.Смагину за помощь в подготовке статьи.

Литература

- Сисакян И.Н., Сойфер В.А. Компьютерная оптика. Достижения и проблемы // Компьютерная оптика, вып.1.- М.: МЦНТИ. - 1987. - С.5-19.
- Golub M.A., Sisakian I.N., Soifer V.A. Infrared radiation focusators // Optics and Lasers in Engineering. - 1991. - Vol.15, No 5. - P.297-309.

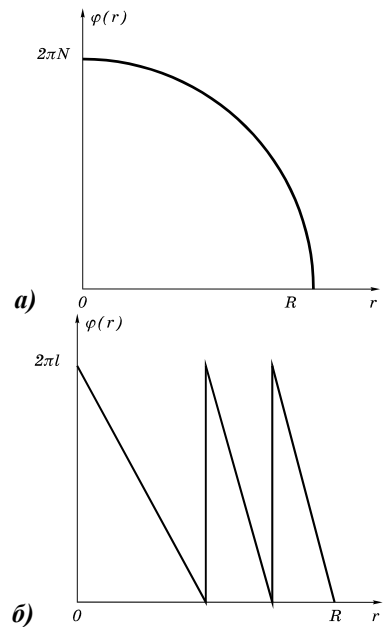


Рис. 3. Графики фазовой функции линзы до (а) и после (б) применения нелинейного преобразования G/φ .

Данные, приведенные в Таблице 1, могут быть использованы для выбора допустимых параметров N и l дифракционной линзы при кусочно-линейной аппроксимации профиля зон микрорельефа. В частности, применение кусочно-линейной аппроксимации микрорельефа дифракционной линзы с выше-приведенными параметрами для количества зон $N>4$ и $l=1$ приводит к уменьшению энергетической эффективности не более чем на 20%. В то же время линейная аппроксимация сразу относительно большого числа зон Френеля $N/l<20$ при $l\geq 2$ является неэффективной.

Таблица 1.

3. Sisakyan I.N., Soifer V.A. Infrared focusators, new optical elements // Infrared Physics. - 1991. - Vol.32. - P.435-438.
4. Голуб М.А., Казанский Н.Л., Сойфер В.А. Математическая модель фокусировки излучения элементами компьютерной оптики // Научное приборостроение. - 1993. - Т.3, № 1. - С.9-23.
5. Вычислительный эксперимент с элементами плоской оптики / Голуб М.А., Казанский Н.Л., Сисакян И.Н., Сойфер В.А. // Автометрия. - 1988. - № 1. - С. 70-82.
6. Kazanskiy N.L., Soifer V.A. Diffraction investigation of geometric-optical focusators into segment // Optik. - 1994. - Vol.96, No 4. - P.158-162.
7. Попов В.В. Материалы и методы для создания плоских фокусирующих элементов // Компьютерная оптика. - М.: МЦНТИ, 1987. - Вып.1. - С.160-163.
8. The technology of fabricating focusators of infrared laser radiation / Golub M.A., Rybakov O.E., Usplenjev G.V., Volkov A.V., Volotovsky S.G. // Optics and Laser Technology. - 1995. - Vol.27, No 4. - P.215-218.
9. Rectangular-apertured micro-Fresnel lens arrays fabricated by electron-beam lithography / Shiono T., Setsune K., Yamazaki O., Wasa K. // Applied Optics. - 1987. - Vol.26. - P.587-591.
10. Curcio M. Diamond machining of infrared optics utilizing two-axis machine technology // Proceedings SPIE. - 1981. - Vol.306. - P.105-113.
11. Булатов Е.Д., Гридин С.А., Даниленко А.А. Изготовление элементов плоской оптики миллиметрового и субмиллиметрового диапазона на серийных промышленных станках с числовым программным управлением // Компьютерная оптика. - М.: МЦНТИ, 1987. - Вып.1. - С.167-173.
12. Clark P.P., Londono C. Production of kinoform by single point diamond machining // Optics News. - 1989. - Vol.15. - P.39-40.
13. Dry photopolymer films for computer-generated infrared radiation focusing elements / Boiko Yu.B., Solovjev V.S., Calixto S., Lougnot D.-J. // Applied Optics. - 1994. - Vol. 33, No 5. - P.787-793.
14. Соловьев В.С. Исследование поведения слоя ЖФПК во время рельефообразования // Компьютерная оптика. - М.: МЦНТИ, 1992. - Вып.10-11. - С.145-149.
15. Sweeney D.W., Sommargren G.E. Harmonic diffractive lenses // Applied Optics. - 1995. - Vol.34, No 14. - P.2469-2475.
16. Бобров С.Т., Грейсух Г.И., Туркевич Ю.Г. Оптика дифракционных элементов и систем. - Л.: Машиностроение, 1986. - 224с.
17. Dallas J.M. Phase quantization - a compact derivation // Applied Optics. - 1971. - Vol.10. - P.674-676.
18. Goodman J.W., Silvestri A.M. Some effects of Fourier-domain phase quantization // IBM Journ. Res. Develop. - 1969. - Vol.14. - P.478-484.
19. Борн М., Вольф Э. Основы оптики. - М.: Наука, 1973. - 720 с.
20. Kathuria Y.P. Computer modeling of three-dimensional Fresnel-diffraction pattern at circular, rectangular and square apertures // Optica Applicata. - 1984. - Vol. 14, No 4. - P.509-514.
21. Soifer V.A., Golub M.A. Diffractive micro-optical elements // Proceedings SPIE. - 1992. - Vol.1751. - P.140-154.

A method for estimating the DOE's energy efficiency

L.L. Doskolovich, N.L. Kazansky, S.I. Kharitonov

Abstract

In this paper, we propose a method for estimating the variations of the energy efficiency of diffractive optical elements (DOEs) at the design stage. The method can be used to assess the effect of various technological errors on the operation of diffractive optical elements.

Citation: Doskolovich LL, Kazansky NL, Kharitonov SI. A method for estimating the DOE's energy efficiency. Computer Optics 1996; 16: 47-50.

References

- [1] Sisakyan IN, Soifer VA. Achievements and problems. Computer optics; Moscow: ICSTI; 1987; 1: 5-19.
- [2] Golub MA, Sisakyan IN, Soifer VA. Infra-red radiation focusators. Optics and lasers in engineering; 1991; 15(5): 297-309.
- [3] Sisakyan IN, Soifer VA. Infrared focusators, new optical elements. Infrared Physics; 1991; 32: 435-438.
- [4] Golub MA, Kazansky NL, Soifer VA. Mathematical model of beam focusing by computer optics elements. Scientific instrumentation; 1993; 3(1): 9-23.
- [5] Golub MA, Kazansky NL, Sisakyan IN, Soifer VA. Computational experiment with plane optical elements. Avtometriya; 1988; 1: 70-82.
- [6] Kazanskiy NL, Soifer VA. Diffraction investigation of geometric-optical focusators into segment. Optik; 1994; 96(4): 158-162.
- [7] Popov VV. Materials and methods for flat focusing elements. Computer optics; Moscow: ICSTI; 1987; 1: 160-163.
- [8] Golub MA, Rybakov OE, Usplenjev GV, Volkov AV, Volotovsky SG. The technology of fabricating focusators of infrared laser radiation. Optics and Laser Technology; 1995; 27(4): 215-218.
- [9] Shiono T, Setsune K, Yamazaki O, Wasa K. Rectangular-apertured micro-Fresnel lens arrays fabricated by electron-beam lithography. Applied Optics; 1987; 26: 587-591.
- [10] Curcio M. Diamond machining of infrared optics utilizing two-axis machine technology. SPIE Proceedings; 1981; 306: 105-113.
- [11] Bulatov ED, Gridin SA, Danilenko AA. Production of flat optical elements for millimetre and submillimetre ranges on commercial numerically controlled machines. Computer optics; Moscow: ICSTI; 1987; 1: 167-173.
- [12] Clark PP, Londono C. Production of kinoform by single point diamond machining. Optics News; 1989; 15: 39-40.
- [13] Boiko YB, Soloviev VS, Calixto S, Lougnot DJ. Dry photopolymer films for computer-generated infrared radiation focusing elements. Applied Optics; 1994; 33(5): 787-793
- [14] Soloviev VS. The study of the behavior of a liquid photopolymer layer during relief formation. Computer Optics; 1992; 10-11: 145-149.
- [15] Sweeney DW, Sommargren GE. Harmonic diffractive lenses. Applied Optics; 1995; 34(14): 2469-2475.
- [16] Bobrov ST, Greysukh GI, Turkevich YG. Optics of diffraction elements and systems; Leningrad: Mashinostroenie Publisher; 1986; 224.
- [17] Dallas JM. Phase quantization - a compact derivation. Applied Optics; 1971; 10: 674- 676.
- [18] Goodman JW, Silvestri AM. Some effects of Fourier-domain phase quantization. IBM Journ. Res. Develop; 1969; 14: 478-484.
- [19] Born M, Wolf E. Basics of optics; Moscow: Nauka Publisher; 1973; 720.
- [20] Kathuria YP. Computer modeling of three-dimensional Fresnel-diffraction pattern at circular, rectangular and square apertures. Optica Applicata; 1984; 14(4): 509-514.
- [21] Soifer VA, Golub MA. Diffractive microoptical elements. SPIE Proceedings; 1992; 1751: 140-154.